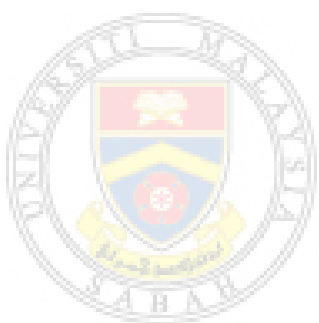


KAJIAN BANJIR DI DAERAH TENOM, SABAH



WONG FUI PENG
UMS
UNIVERSITI MALAYSIA SABAH

**SEKOLAH SAINS DAN TEKNOLOGI
UNIVERSITI MALAYSIA SABAH
2013**

KAJIAN BANJIR DI DAERAH TENOM, SABAH

WONG FUI PENG



**SEKOLAH SAINS DAN TEKNOLOGI
UNIVERSITI MALAYSIA SABAH
2013**

PENGAKUAN

Karya ini adalah hasil kerja saya sendiri kecuali nukilan, ringkasan dan rujukan yang tiap-tiap satunya telah saya jelaskan sumbernya.

13 Mac 2013

Wong Fui Peng
PS20098020



UMS
UNIVERSITI MALAYSIA SABAH

PENGESAHAN

NAMA : WONG FUI PENG

NO. MATRIK : PS20098020

TAJUK : KAJIAN BANJIR DI DAERAH TENOM, SABAH

SARJANA : SARJANA SAINS

TARIKH VIVA : 9 JANUARI 2013

DISAHKAN OLEH

Tandatangan

1. PENYELIA

Prof. Dr. Felix Tongkul



2. PENYELIA BERSAMA

Puan Janice Lynn Ayog



PENGHARGAAN

Saya ingin mengucapkan setinggi-tinggi penghargaan dan ucapan terima kasih kepada pihak yang telah memberi sumbangan, sokongan dan bantuan dalam perlaksanaan tesis ini. Antara pihak yang terlibat ialah:

- Prof. Dr. Felix Tongkul selaku penyelia utama dan Puan Janice Lynn Ayog (SKTM) selaku penyelia bersama yang telah memberi banyak tunjuk ajar dan bimbingan kepada saya.
- Prof. Dr. Shariff AK Omang Al-Haj dan Prof. Madya Dr. Juhari Mat Akhir (UKM) selaku pemeriksa telah memberi komen-komen yang berguna dalam menjayakan kajian ini.
- Para Staf UMS terutamanya pensyarah program Geologi yang telah memberi sokongan dan pendapat mengenai kajian bencana alam.
- Staf Pusat Pengajian Pascasiswazah yang sering membantu saya terutamanya Encik Masrin Samian.
- Staf dan pelajar Unit Kajian Bencana Alam, Sekolah Sains dan Teknologi yang sering membantu, memberi dorongan dan sokongan kepada saya.
- Staf Jabatan Pengairan dan Saliran terutamanya Encik Andy Fong dan Encik Yih Chin Hing yang telah memberi pendapat dan membekalkan maklumat berkaitan banjir di Daerah Tenom.
- Para staf Jabatan Tanah dan Ukur terutamanya Encik Simon Pius Ital yang sering membantu dan memberi tunjuk ajar kepada saya.
- Staf Pejabat Daerah Tenom yang telah membekalkan pelbagai maklumat kepada saya.
- Semua penduduk Daerah Tenom yang telah memberi kerjasama dalam menjayakan kajian ini.
- Ahli keluarga dan rakan-rakan yang sering memberi sokongan kepada saya.
- Jabatan-jabatan Kerajaan yang pernah membantu saya dalam menjayakan kajian ini.

ABSTRAK

KAJIAN BANJIR DI DAERAH TENOM, SABAH

Kawasan kajian terletak di Daerah Tenom iaitu di Pedalaman Sabah dengan keluasan 445 km^2 . Kawasan kajian terdiri daripada Formasi Crocker, Endapan Aluvium Pleistosen dan Endapan Aluvium Holosen. Dua jenis banjir telah dikenalpasti di kawasan kajian iaitu banjir kilat dan banjir monsun. Kedua-dua jenis banjir ini dipengaruhi oleh proses semulajadi dan aktiviti manusia. Banjir kilat dipengaruhi oleh topografi yang rendah, morfologi sungai, alur sungai yang kecil dan cetek serta sistem perparitan yang kurang efektif. Banjir monsun dipengaruhi oleh kawasan tadahan yang sangat besar, topografi yang rendah, morfologi sungai yang bermeander dan sungai yang agak cetek. Di lokasi analisis yang berkeluasan 59 km^2 iaitu terletak di tengah kawasan kajian, Banjir Kecil berlaku pada paras 176 meter meliputi kawasan seluas 382.4 hektar, infrastruktur; 5.2 hektar, tanaman; 175.5 hektar dan berlaku berdekatan tebing sungai di tengah lokasi analisis dan juga di Sungai Padas iaitu Kampung Lintong dan Sapong. Banjir Sederhana berlaku pada paras 178 meter meliputi kawasan seluas 1854.5 hektar, infrastruktur; 46.0 hektar, tanaman; 821.0 hektar dan berlaku secara meluas di Timur Sungai Padas iaitu di Kampung Binsilon, Kampung Lintong dan Kampung Mentalik. Selain itu, keluasan banjir di Barat Sungai Pegalan lebih ketara berbanding Timur Sungai Pegalan. Banjir Besar berlaku pada paras 180 meter meliputi kawasan seluas 3014.5 hektar, infrastruktur; 120.2 hektar, tanaman; 1402.0 hektar dan melanda dengan luas di Timur Sungai Padas dan Barat Sungai Pegalan. Selari dengan tiga senario di atas, kawasan berpotensi banjir berlaku pada paras 180-181 meter meliputi kawasan seluas 363.9 hektar, infrastruktur; 28.3 hektar, tanaman; 217.2 hektar dan berpotensi melanda sebahagian besar di Utara lokasi analisis terutamanya di sebelah Timur Sungai Pegalan. Analisis tahap keseriusan banjir di lokasi analisis mendapati kategori Sangat Rendah (Hijau) mempunyai 171 zon, kategori Rendah (Hijau Muda) mempunyai 1447 zon, kategori Sederhana (Kuning) mempunyai 1906 zon, kategori Tinggi (Jingga) mempunyai 393 zon dan tidak terdapat sebarang zon dalam kategori Sangat Tinggi (Merah). Selain itu, kategori Tinggi mempunyai infrastruktur seluas 5.3 hektar, tanaman seluas 194.5 hektar dan terletak di Sungai Padas terutamanya di Sapong dan Kampung Lintong.

ABSTRACT

The study area is located in Tenom District, the Interior of Sabah which covers an area of 445 km². The study area underlain by the Crocker Formation, Pleistocene Alluvial Deposits and Holocene Alluvial Deposits. Generally, two types of floods are identified in the study area, there are flash flood and monsoon flood. The flash flood is influenced by low topography, river morphology, narrow river channels and ineffective drainage system. The monsoon flood is influenced by the big catchment, low topography, meandering river morphology and shallow river profile. In the location of flood hazard analysis (59 km²) which is located in the middle of the study area, Small Flood occurs at the elevation of 176 meters which covers an area of 382.4 hectares, infrastructures; 5.2 hectares, crops; 175.5 hectares and occupy along the riverbank at the centre of the location of analysis and also at Padas River especially Kampung Lintong and Sapong. Moderate Flood occurs at the elevation of 178 meters which covers an area of 1854.5 hectares, infrastructures; 46.0 hectares, crops; 821.0 hectares and occupy widely at the Eastern part of Padas River (Kampung Binsilon, Kampung Lintong and Kampung Mentalik). Meanwhile, the flood acreage at the Eastern part of Pegalan River is more significant than the Western part. Large Flood occurs at the elevation of 180 meters which covers an area of 3014.5 hectares, infrastructures; 120.2 hectares, crops; 1402.0 hectares and occupy at the Eastern part of Padas River and the Western part of Pegalan River. The potential flood occurs at the elevation of 180-181 meters which covers an area of 363.9 hectares, infrastructures; 28.3 hectares, crops; 217.2 hectares and occupy mostly at the North of location of analysis especially Eastern part of Pegalan River. The flood hazard analysis found that the Very Low category (Green) consists of 171 zones, Low category (Light Green) consists of 1447 zones, Moderate category (Yellow) consists of 1906 zones, High category (Orange) consists of 393 zones (most severe) and none of the zone from Very High category (Red). The zones from High category cover an infrastructures of 5.3 hectares, crops; 194.5 hectares and located at the Padas River especially at Sapong and Kampung Lintong.

SENARAI KANDUNGAN

Halaman

| | |
|-------------------------------------|-------|
| TAJUK | i |
| PENGAKUAN | ii |
| PENGESAHAN | iii |
| PENGHARGAAN | iv |
| ABSTRAK | v |
| <i>ABSTRACT</i> | vi |
| SENARAI KANDUNGAN | vii |
| SENARAI JADUAL | x |
| SENARAI RAJAH | xiii |
| SENARAI FOTO | xviii |
| SENARAI SINGKATAN | xxi |
| SENARAI LAMPIRAN | xxii |
| BAB 1: PENGENALAN | 1 |
| 1.1 Definisi Dan Konsep | 1 |
| 1.2 Kawasan Kajian | 7 |
| 1.3 Rasional Kajian | 7 |
| 1.4 Objektif | 7 |
| 1.5 Kajian Literatur | 10 |
| BAB 2: METODOLOGI | 23 |
| 2.1 Pengenalan | 23 |
| 2.2 Pengumpulan Dan Penyediaan Data | 23 |
| 2.3 Kerja Lapangan | 24 |
| 2.4 Analisis Dan Pentafsiran Data | 25 |
| 2.5 Rumusan Metodologi | 33 |
| 2.6 Kekangan Kajian | 35 |

| | |
|---|-----|
| BAB 3: GEOGRAFI DAN GEOLOGI AM | 36 |
| 3.1 Pendahuluan | 36 |
| 3.2 Geografi | 36 |
| 3.2.1 Iklim | 36 |
| 3.2.2 Penduduk Dan Populasi | 36 |
| 3.2.3 Kegiatan Ekonomi | 38 |
| 3.2.4 Gunatanah | 41 |
| 3.2.5 Geomorfologi | 43 |
| 3.3 Geologi Am | 45 |
| 3.3.1 Stratigrafi Tadahan Kawasan Kajian | 45 |
| 3.3.2 Stratigrafi Tempatan | 48 |
| 3.3.3 Geologi Struktur | 54 |
| BAB 4: MORFOLOGI SUNGAI DAN KEJADIAN BANJIR | 57 |
| 4.1 Pendahuluan | 57 |
| 4.2 Morfologi Sungai | 57 |
| 4.2.1 Corak Sungai | 57 |
| 4.2.2 Perubahan Morfologi Sungai | 63 |
| 4.2.3 Luahan Sungai | 70 |
| 4.3 Kejadian Banjir | 73 |
| 4.3.1 Banjir Kilat | 76 |
| 4.3.2 Banjir Monsun | 83 |
| 4.4 Kesan Negatif Kejadian Banjir | 88 |
| 4.5 Kesan Positif Kejadian Banjir | 93 |
| 4.6 Pelaksanaan Mitigasi | 95 |
| BAB 5: LOKASI, KELUASAN KAWASAN DAN KELUASAN GUNATANAH YANG MENGALAMI BANJIR DAN BERPOTENSI MENGALAMI BANJIR | 98 |
| 5.1 Pendahuluan | 98 |
| 5.2 Lokasi Banjir | 98 |
| 5.3 Keluasan Kawasan Yang Mengalami Banjir Dan Berpotensi Mengalami Banjir | 111 |

| | | |
|--|--|-----|
| 5.4 | Keluasan Gunatanah Yang Mengalami Banjir Dan Berpotensi Mengalami Banjir | 112 |
| BAB 6: ANALISIS TAHAP KESERIUSAN BANJIR | | 114 |
| 6.1 | Pendahuluan | 114 |
| 6.2 | Analisis Mengikut Zon Banjir | 114 |
| 6.3 | Analisis Tahap Keseriusan Banjir | 116 |
| 6.3.1 | Analisis Keseriusan Banjir Berdasarkan Satu Parameter | 116 |
| 6.3.2 | Analisis Tahap Keseriusan Banjir Berdasarkan Lebih Dari Satu Parameter | 125 |
| BAB 7: PERBINCANGAN DAN KESIMPULAN | | 136 |
| 7.1 | Pendahuluan | 136 |
| 7.2 | Geologi Tadahan Kawasan Kajian | 136 |
| 7.3 | Luahan Sungai | 136 |
| 7.4 | Faktor Banjir Di Kawasan Kajian | 137 |
| 7.5 | Keluasan Banjir | 139 |
| 7.6 | Keseriusan Banjir | 140 |
| 7.7 | Kelebihan Peta Tahap Keseriusan Banjir | 142 |
| 7.8 | Rumusan Kajian | 145 |
| 7.9 | Kesimpulan | 146 |
| 7.10 | Cadangan | 147 |
| RUJUKAN | | 150 |
| LAMPIRAN | | 156 |

SENARAI JADUAL

| | Halaman | |
|-------------|---|----|
| Jadual 1.1 | Daerah yang terdedah dengan kejadian banjir pada tahun 1996 | 2 |
| Jadual 1.2 | Sejarah banjir yang berlaku di Daerah Tenom | 4 |
| Jadual 1.3 | Faktor diberi nilai pemberat mengikut kepentingannya | 11 |
| Jadual 1.4 | Pembahagian faktor kepada beberapa kelas dan diberi nilai sub pemberat mengikut kepentingannya dalam faktor | 11 |
| Jadual 1.5 | Tiga jenis kategori zon bencana banjir | 12 |
| Jadual 1.6 | Faktor dan subfaktor yang digunakan dalam kajian | 13 |
| Jadual 1.7 | Nilai faktor dan subfaktor yang digunakan dalam menentukan bencana banjir | 15 |
| Jadual 1.8 | Lima kategori yang digunakan dalam menentukan kategori bencana banjir | 15 |
| Jadual 1.9 | Nilai faktor dan subfaktor yang digunakan dalam menentukan risiko banjir | 16 |
| Jadual 1.10 | Lima kategori yang digunakan dalam menentukan kategori risiko banjir | 16 |
| Jadual 1.11 | Lima kriteria dalam menentukan kawasan yang terdedah dengan banjir | 18 |
| Jadual 1.12 | Empat faktor digunakan dalam menentukan tahap bencana banjir | 19 |
| Jadual 1.13 | Empat tahap dalam kategori bencana banjir | 19 |
| Jadual 1.14 | Senarai nama pengkaji yang menjalankan kajian banjir di Sabah | 22 |
| Jadual 2.1 | Bahagian ketinggian topografi yang bersela 0.5 meter | 28 |
| Jadual 2.2 | Pemberat dan ranking yang digunakan untuk menentukan tahap keseriusan banjir di setiap zon 100 m x 100 m | 29 |

| | | |
|------------|--|-----|
| Jadual 2.3 | Formula analisis tahap keseriusan banjir berdasarkan satu parameter di setiap zon 100 m x 100 m | 32 |
| Jadual 2.4 | Formula analisis tahap keseriusan banjir berdasarkan lebih dari satu parameter di setiap zon 100 m x 100 m | 32 |
| Jadual 2.5 | Kategori tahap keseriusan banjir di setiap zon 100 m x 100 m | 33 |
| Jadual 2.6 | Carta aliran metodologi untuk mengenalpasti faktor kejadian banjir | 33 |
| Jadual 2.7 | Carta aliran metodologi untuk menentukan lokasi, keluasan kawasan dan keluasan gunatanah (infrastruktur dan tanaman) yang mengalami banjir dan berpotensi mengalami banjir | 34 |
| Jadual 2.8 | Carta aliran metodologi untuk mengenalpasti tahap keseriusan banjir di setiap zon | 34 |
| Jadual 4.1 | Nama sungai yang dihubungkan dengan Sungai Pegalan dan Sungai Padas | 58 |
| Jadual 4.2 | Sejarah banjir yang berlaku di Tenom dari bulan Disember tahun 1996 hingga 2009 | 72 |
| Jadual 4.3 | Luahan (m^3/s) yang direkodkan semasa banjir dari bulan Disember 1996 hingga November 2008 | 72 |
| Jadual 4.4 | Kawasan yang mengalami banjir kilat | 79 |
| Jadual 4.5 | Kawasan yang mengalami banjir monsun | 83 |
| Jadual 5.1 | Keluasan kawasan, gunatanah dan lokasi banjir di lokasi analisis | 110 |
| Jadual 5.2 | Keluasan kawasan, infrastruktur, tanaman dan hutan/tanah lapang berdasarkan ketinggian topografi | 112 |
| Jadual 6.1 | Kategori tahap keseriusan banjir berdasarkan ketinggian Kawasan | 117 |
| Jadual 6.2 | Kategori tahap keseriusan banjir berdasarkan jarak dari sungai utama | 117 |
| Jadual 6.3 | Kategori tahap keseriusan banjir berdasarkan ketinggian kedudukan infrastruktur | 118 |

| | | |
|-------------|---|-----|
| Jadual 6.4 | Kategori tahap keseriusan banjir berdasarkan ketinggian kedudukan infrastruktur mengikut nilai minimum dan maksimum | 119 |
| Jadual 6.5 | Kategori tahap keseriusan banjir berdasarkan ketinggian kedudukan tanaman | 119 |
| Jadual 6.6 | Kategori tahap keseriusan banjir berdasarkan ketinggian kawasan dan jarak dari sungai utama | 125 |
| Jadual 6.7 | Kategori tahap keseriusan banjir berdasarkan jarak dari sungai utama dan ketinggian kedudukan infrastruktur | 127 |
| Jadual 6.8 | Kategori tahap keseriusan banjir berdasarkan jarak dari sungai utama dan ketinggian kedudukan infrastruktur mengikut nilai minimum dan maksimum | 127 |
| Jadual 6.9 | Kategori tahap keseriusan banjir berdasarkan jarak dari sungai utama dan ketinggian kedudukan tanaman | 128 |
| Jadual 6.10 | Kategori tahap keseriusan banjir berdasarkan semua Parameter | 129 |
| Jadual 6.11 | Kategori tahap keseriusan banjir berdasarkan semua parameter mengikut nilai minimum dan maksimum | 129 |
| Jadual 7.1 | Lokasi dan keluasan kawasan yang mengalami banjir dan berpotensi mengalami banjir | 146 |
| Jadual 7.2 | Keluasan gunatanah (infrastruktur dan tanaman) yang mengalami banjir dan berpotensi mengalami banjir | 147 |

SENARAI RAJAH

| | Halaman | |
|------------|---|----|
| Rajah 1.1 | Peta kawasan banjir di Sabah | 2 |
| Rajah 1.2 | Lokasi kawasan kajian yang terletak di Pedalaman Sabah | 8 |
| Rajah 1.3 | Peta dasar kawasan kajian yang berkeluasan 445 km ² | 9 |
| Rajah 2.1 | Pengiraan keluasan kawasan, infrastruktur dan tanaman berdasarkan ketinggian topografi di zon 100 m x 100 m | 28 |
| Rajah 3.1 | Taburan hujan tahunan di Stesen Lagud Sebrang, Tenom | 37 |
| Rajah 3.2 | Taburan hujan bulanan di Stesen Lagud Sebrang, Tenom | 37 |
| Rajah 3.3 | Carta pai populasi Daerah Tenom | 37 |
| Rajah 3.4 | Keluasan tanaman di Daerah Tenom dalam kiraan hektar | 41 |
| Rajah 3.5 | Peta gunatanah kawasan kajian | 42 |
| Rajah 3.6 | Peta topografi kawasan kajian | 44 |
| Rajah 3.7 | Sistem saliran di kawasan kajian | 46 |
| Rajah 3.8 | Stratigrafi tadahan kawasan kajian | 47 |
| Rajah 3.9A | Peta geologi kawasan kajian | 49 |
| Rajah 3.9B | Keratan rentas A-B, C-D dan E-F | 50 |
| Rajah 3.10 | Lineamen negatif menunjukkan arah canggaan adalah hampir Tenggara-Baratlaut | 55 |
| Rajah 3.11 | Lineamen positif yang bertren hampir Timurlaut-Baratdaya menunjukkan arah canggaan adalah hampir Tenggara-Baratlaut | 56 |
| Rajah 4.1 | Kawasan kajian yang terletak di tadahan Sungai Pegalan dan Sungai Padas | 58 |
| Rajah 4.2 | Lokasi sungai yang dihubungkan dengan Sungai Pegalan dan Sungai Padas. Rajah juga menunjukkan lokasi stesen telemetri yang merekodkan data luahan | 59 |

| | | |
|-------------|--|----|
| Rajah 4.3 | Morfologi sungai kawasan kajian pada tahun 1962 dan petak kuning menunjukkan perubahan morfologi sungai antara tahun 1962 dan tahun 1982 (Rajah 4.4) | 64 |
| Rajah 4.4 | Morfologi sungai kawasan kajian pada tahun 1982. Petak kuning menunjukkan perubahan morfologi sungai antara tahun 1962 (rujuk Rajah 4.3) dan tahun 1982 manakala bulatan hijau menunjukkan perubahan morfologi sungai antara tahun 1982 dan tahun 1995 (Rajah 4.5) | 65 |
| Rajah 4.5 | Morfologi sungai kawasan kajian pada tahun 1995. Bulatan hijau menunjukkan perubahan morfologi sungai antara tahun 1982 (rujuk Rajah 4.4) dan tahun 1995 manakala petak merah menunjukkan perubahan morfologi sungai antara tahun 1995 dan tahun 2006 (Rajah 4.6) | 66 |
| Rajah 4.6 | Morfologi sungai kawasan kajian pada tahun 2006. Petak merah menunjukkan perubahan morfologi sungai antara tahun 1995 (rujuk Rajah 4.5) dan tahun 2006 manakala bulatan ungu menunjukkan meander yang dijangka akan terpotong pada masa hadapan | 67 |
| Rajah 4.7 | Purata luahan tahunan dari stesen telemetri Ansip | 71 |
| Rajah 4.8 | Purata luahan tahunan dari stesen telemetri Biah | 71 |
| Rajah 4.9 | Purata luahan tahunan dari stesen telemetri Kemabong | 71 |
| Rajah 4.10 | Dataran rendah Tenom yang dijana dari <i>SRTM</i> menerusi perisian <i>Global Mapper</i> menunjukkan kawasan kajian adalah rendah dan dikelilingi kawasan perbukitan | 73 |
| Rajah 4.11 | Bahagian berwarna ungu menunjukkan kawasan banjir di kawasan kajian | 74 |
| Rajah 4.12 | Lokasi kejadian banjir pada bulan Januari, Jun dan Disember tahun 1996 di kawasan kajian | 75 |
| Rajah 4.13 | Petak merah (A) merupakan kawasan banjir kilat yang disebabkan Sungai Naluyan, Kalang dan Uloi manakala kawasan banjir kilat di petak biru (B) disebabkan Sungai Bunut | 77 |
| Rajah 4.13A | Banjir kilat akibat dari Sungai Naluyan, Sungai Kalang dan Sungai Uloi | 78 |
| Rajah 4.13B | Banjir kilat di Pekan Tenom akibat dari Sungai Bunut | 79 |

| | | |
|------------|---|-----|
| Rajah 4.14 | Data taburan hujan harian tahun 2009 yang diperoleh dari Stesen Penyelidikan Koko Lagud-Tenom, kawasan kajian | 80 |
| Rajah 4.15 | Garisan kuning menunjukkan dataran rendah atau banjir yang berketinggian <200 meter dari paras laut purata | 85 |
| Rajah 4.16 | Ketinggian topografi bagi dataran rendah Tenom, Kemabong, Keningau dan Sook di mana ketinggian topografi dataran rendah Tenom adalah paling rendah antara kesemua dataran yang dinyatakan | 86 |
| Rajah 4.17 | Morfologi rantau Sungai Pegalan dan Sungai Padas | 87 |
| Rajah 4.18 | Zon pengelasan tanah | 89 |
| Rajah 5.1 | Lokasi analisis yang berkeluasan 59 km^2 terletak di tengah kawasan kajian | 99 |
| Rajah 5.2 | <i>Digital Terrain Model (DTM)</i> lokasi analisis banjir | 100 |
| Rajah 5.3 | Peta menunjukkan sebanyak 34 lokasi dikenalpasti untuk melihat keadaan banjir | 101 |
| Rajah 5.4 | Keadaan banjir di lokasi analisis pada paras ketinggian 174 meter (imej dengan <i>vertical exaggeration</i> 10) | 102 |
| Rajah 5.5 | Keadaan banjir di lokasi analisis pada paras ketinggian 174.5 meter (imej dengan <i>vertical exaggeration</i> 10) | 103 |
| Rajah 5.6 | Keadaan banjir di lokasi analisis pada paras ketinggian 175 meter (imej dengan <i>vertical exaggeration</i> 10) | 103 |
| Rajah 5.7 | Keadaan banjir di lokasi analisis pada paras ketinggian 175.5 meter (imej dengan <i>vertical exaggeration</i> 10) | 104 |
| Rajah 5.8 | Keadaan banjir di lokasi analisis pada paras ketinggian 176 meter (imej dengan <i>vertical exaggeration</i> 10) | 104 |
| Rajah 5.9 | Keadaan banjir di lokasi analisis pada paras ketinggian 176.5 meter (imej dengan <i>vertical exaggeration</i> 10) | 105 |
| Rajah 5.10 | Keadaan banjir di lokasi analisis pada paras ketinggian 177 meter (imej dengan <i>vertical exaggeration</i> 10) | 105 |
| Rajah 5.11 | Keadaan banjir di lokasi analisis pada paras ketinggian 177.5 meter (imej dengan <i>vertical exaggeration</i> 10) | 106 |

| | | |
|------------|---|-----|
| Rajah 5.12 | Keadaan banjir di lokasi analisis pada paras ketinggian 178 meter (imej dengan <i>vertical exaggeration</i> 10) | 106 |
| Rajah 5.13 | Keadaan banjir di lokasi analisis pada paras ketinggian 178.5 meter (imej dengan <i>vertical exaggeration</i> 10) | 107 |
| Rajah 5.14 | Keadaan banjir di lokasi analisis pada paras ketinggian 179 meter (imej dengan <i>vertical exaggeration</i> 10) | 107 |
| Rajah 5.15 | Keadaan banjir di lokasi analisis pada paras ketinggian 179.5 meter (imej dengan <i>vertical exaggeration</i> 10) | 108 |
| Rajah 5.16 | Keadaan banjir di lokasi analisis pada paras ketinggian 180 meter (imej dengan <i>vertical exaggeration</i> 10) | 108 |
| Rajah 5.17 | Keadaan banjir di lokasi analisis pada paras ketinggian 180.5 meter (imej dengan <i>vertical exaggeration</i> 10) | 109 |
| Rajah 5.18 | Keadaan banjir di lokasi analisis pada paras ketinggian 181 meter (imej dengan <i>vertical exaggeration</i> 10) | 109 |
| Rajah 5.19 | Tren keluasan kawasan, infrastruktur, tanaman dan tanah lapang/hutan mengikut ketinggian topografi | 111 |
| Rajah 6.1A | Peta menunjukkan sebanyak 3917 zon banjir yang berkeluasan 100 m x 100 m | 115 |
| Rajah 6.1B | Rajah menunjukkan lokasi zon dari 1 hingga 3917 "dalam CD" | |
| Rajah 6.2 | Peta tahap keseriusan banjir berdasarkan ketinggian kawasan menunjukkan kebanyakan zon Sangat Tinggi terletak berdekatan sungai utama | 120 |
| Rajah 6.3 | Peta tahap keseriusan banjir berdasarkan jarak dari sungai utama menunjukkan kebanyakan zon Sangat Tinggi terletak berhampiran dengan sungai utama | 121 |
| Rajah 6.4 | Peta tahap keseriusan banjir berdasarkan ketinggian kedudukan infrastruktur menunjukkan kebanyakan zon Sederhana terletak berdekatan Sungai Padas Utama | 122 |
| Rajah 6.5 | Peta tahap keseriusan banjir berdasarkan ketinggian kedudukan infrastruktur mengikut nilai minimum dan maksimum menunjukkan kebanyakan zon yang serius terletak di Barat sungai utama | 123 |

| | | |
|------------|--|-----|
| Rajah 6.6 | Peta tahap keseriusan banjir berdasarkan ketinggian kedudukan tanaman menunjukkan kebanyakan zon Sangat Tinggi terletak di Sungai Padas berbanding Sungai Pegalan | 124 |
| Rajah 6.7 | Peta tahap keseriusan banjir berdasarkan ketinggian kawasan dan jarak dari sungai utama menunjukkan kebanyakan zon Sangat Tinggi terletak di sepanjang sungai terutamanya di Sungai Padas | 130 |
| Rajah 6.8 | Peta tahap keseriusan banjir berdasarkan jarak dari sungai utama dan ketinggian kedudukan infrastruktur menunjukkan hanya terdapat satu zon Sangat Tinggi iaitu di G(II) | 131 |
| Rajah 6.9 | Peta tahap keseriusan banjir berdasarkan jarak dari sungai utama dan ketinggian kedudukan infrastruktur mengikut nilai minimum dan maksimum menunjukkan kebanyakan zon Sangat Tinggi dan Tinggi terletak di sepanjang sungai utama | 132 |
| Rajah 6.10 | Peta tahap keseriusan banjir berdasarkan jarak dari sungai utama dan ketinggian kedudukan tanaman menunjukkan kebanyakan zon Sangat Tinggi terletak di Sungai Padas | 133 |
| Rajah 6.11 | Peta tahap keseriusan banjir berdasarkan semua parameter menunjukkan kebanyakan zon Tinggi terletak di Sungai Padas berbanding Sungai Pegalan | 134 |
| Rajah 6.12 | Peta tahap keseriusan banjir berdasarkan semua parameter mengikut nilai minimum dan maksimum menunjukkan kebanyakan zon Tinggi terletak di Sungai Padas berbanding Sungai Pegalan | 135 |

SENARAI FOTO

| | Halaman | |
|----------|---|----|
| Foto 1.1 | Garisan merah menunjukkan paras banjir yang mencecah 2.30 meter pada Mac 2009 di Kampung Binsilon, Daerah Tenom | 4 |
| Foto 1.2 | Keadaan banjir pada 13 Mac 2009 di Pekan Tenom | 5 |
| Foto 1.3 | Keadaan banjir pada 13 Mac 2009 di Pekan Tenom | 5 |
| Foto 1.4 | Hakisan tebing sungai berlaku hingga ke belakang rumah di Kampung Pantongan, Daerah Tenom pada September tahun 2009 | 6 |
| Foto 1.5 | Pekan Tenom menerusi gambar yang diambil dari udara | 8 |
| Foto 3.1 | Penanaman kelapa sawit di Sapong yang merupakan hasil utama pertanian di Tenom | 38 |
| Foto 3.2 | Penanaman getah di Kampung Entabuan | 39 |
| Foto 3.3 | Penanaman kopi di Kampung Tenom Lama | 39 |
| Foto 3.4 | Penanaman koko di Sapong | 40 |
| Foto 3.5 | Penanaman padi yang berada di kawasan dataran banjir di Kampung Duluk | 40 |
| Foto 3.6 | Endapan Aluvium Pleistosen yang terdiri daripada bahan tak terkonsolidat di S1 di Kampung Mantailang | 52 |
| Foto 3.7 | Teres menunjukkan ketebalan Endapan Aluvium Pleistosen yang melebihi 10 meter di S1 di Kampung Mantailang | 53 |
| Foto 3.8 | Endapan Aluvium Pleistosen di S2 di Kampung Mansasoh Baru | 53 |
| Foto 3.9 | Endapan Aluvium Holosen di tepi Sungai Pegalan di Kampung Binsilon | 54 |
| Foto 4.1 | Sungai bermeander yang terdapat di Sungai Padas | 60 |
| Foto 4.2 | Tinggalan tasik ladam Sungai Padas di Sapong | 61 |
| Foto 4.3 | Tasik ladam yang terdapat di Sapong | 61 |

| | | |
|-----------|---|----|
| Foto 4.4 | Bulatan kuning menunjukkan tasik ladam yang terjadi hasil pemotongan meander manakala bulatan merah menunjukkan pembentukan pulau atau beting di Sungai Pegalan | 62 |
| Foto 4.5 | Projek pemotongan meander secara buatan di bulatan berwarna kuning untuk mengelakkan hakisan tebing di Kampung Pantongan (garis merah) | 68 |
| Foto 4.6 | Projek pemotongan meander di Kampung Saga pada September 2009 | 69 |
| Foto 4.7 | Bulatan kuning menunjukkan sungai baru hasil daripada pemotongan meander | 69 |
| Foto 4.8 | Sungai Naluyan yang bersaiz kecil dan cetek di Kampung Kanar | 81 |
| Foto 4.9 | Sungai Uloi yang bersaiz kecil dan cetek di Kampung Uloi | 81 |
| Foto 4.10 | Hakisan di Sungai Uloi yang terletak berhampiran dengan Sungai Pegalan | 82 |
| Foto 4.11 | Sistem perparitan yang kurang efektif di Kampung Kalang | 82 |
| Foto 4.12 | Sungai utama yang cetek di Kampung Saga | 90 |
| Foto 4.13 | Hakisan tebing di sepanjang sungai | 91 |
| Foto 4.14 | Hakisan di sepanjang sungai di Kampung Pantongan pada September 2009 | 91 |
| Foto 4.15 | Hakisan sungai di Kampung Pantongan pada Julai 2011 | 92 |
| Foto 4.16 | Longgokan sampah-sarap dan lumpur tersekat di pagar SRJK (C) Chung Hwa, Pekan Tenom pada April 2009 | 94 |
| Foto 4.17 | Kerosakan infrastruktur di Stesen Kereta Api di Pekan Tenom pada Mac 2009 | 94 |
| Foto 4.18 | Tanaman pokok pisang yang mengalami banjir pada Mac 2009 | 95 |
| Foto 4.19 | Penggantian sistem pembentungan yang bersaiz besar di Kampung Kalang untuk mengalirkan air larian | 96 |

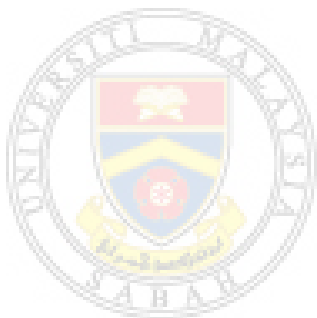
| | | |
|-----------|---|----|
| Foto 4.20 | Pembinaan sistem perparitan bersaiz besar dapat diperhatikan di SRJK (C) Chung Hwa, Pekan Tenom pada tahun 2009 | 96 |
| Foto 4.21 | Pembinaan benteng batuan untuk mencegah hakisan tebing Sungai Padas di Kampung Saga | 97 |
| Foto 4.22 | Pembinaan tebing konkrit untuk mengelakkan hakisan Sungai Naluyan di Kampung Naluyan | 97 |



UMS
UNIVERSITI MALAYSIA SABAH

SENARAI SINGKATAN

| | |
|------------------------|--|
| AHP | <i>Analytical Hierarchy Process</i> |
| CD | <i>Compact Disc</i> |
| DTM | <i>Digital Terrain Model</i> |
| GIS | <i>Geographic Information System</i> |
| Km | Kilometer |
| Km² | Kilometer per segi |
| m | Meter |
| mm | Milimeter |
| m² | Meter per segi |
| m/s³ | Meter padu per saat |
| SRTM | <i>Shuttle Radar Topographic Mission</i> |

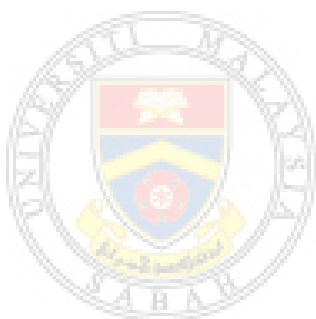


UMS
UNIVERSITI MALAYSIA SABAH

SENARAI LAMPIRAN

| | | Halaman |
|------------|---|-----------------------|
| Lampiran A | Laporan Banjir Semasa | 156 |
| Lampiran B | Keadaan Banjir Pada Paras 174 meter Hingga 181 Meter | 163 |
| Lampiran C | Keluasan Kawasan, Infrastruktur dan Tanaman (m^2) Berdasarkan Ketinggian Topografi | <i>"dalam CD"</i> |
| Lampiran D | Lokasi Zon Analisis Keseriusan Banjir Berdasarkan Satu Parameter | 193 |
| Lampiran E | Keluasan Analisis Tahap Keseriusan Banjir Berdasarkan Ketinggian Kawasan | 195 |
| Lampiran F | Keluasan Kawasan Mengikut Analisis Tahap Keseriusan Banjir Berdasarkan Jarak dari Sungai Utama | 196 |
| Lampiran G | Keluasan Analisis Tahap Keseriusan Banjir Berdasarkan Ketinggian Kedudukan Infrastruktur | 197 |
| Lampiran H | Keluasan Analisis Tahap Keseriusan Banjir Berdasarkan Analisis Ketinggian Kedudukan Infrastruktur Mengikut Nilai Minimum dan Maksimum | 198 |
| Lampiran I | Keluasan Analisis Tahap Keseriusan Banjir Berdasarkan Ketinggian Kedudukan Tanaman | 199 |
| Lampiran J | Lokasi Zon Analisis Keseriusan Banjir Berdasarkan Lebih Dari Satu Parameter | 200 |
| Lampiran K | Keluasan Mengikut Analisis Tahap Keseriusan Banjir Berdasarkan Ketinggian Kawasan dan Jarak dari Sungai Utama | 202 |
| Lampiran L | Keluasan Mengikut Analisis Tahap Keseriusan Banjir Berdasarkan Jarak dari Sungai Utama dan Ketinggian Kedudukan Infrastruktur | 204 |
| Lampiran M | Keluasan Mengikut Analisis Tahap Keseriusan Banjir Berdasarkan Jarak dari Sungai Utama dan Ketinggian Kedudukan Infrastruktur Mengikut Nilai Minimum dan Maksimum | 206 |

| | | |
|------------|---|-----|
| Lampiran N | Keluasan Mengikut Analisis Tahap Keseriusan Banjir Berdasarkan Jarak dari Sungai Utama dan Ketinggian kedudukan Tanaman | 208 |
| Lampiran O | Keluasan Mengikut Analisis Tahap Keseriusan Banjir Berdasarkan Semua Parameter | 210 |
| Lampiran P | Keluasan Mengikut Analisis Tahap Keseriusan Banjir Berdasarkan Semua Parameter Mengikut Nilai Minimum dan Maksimum | 213 |



UMS
UNIVERSITI MALAYSIA SABAH